

# Численное моделирование напряженно-деформированного состояния твердого тела

Докладчик: Швецов Г.А.

Научный руководитель: д.ф-м.н., профессор кафедры ФН-2  
Галанин М.П.

группа ФН2-62Б

21 июня 2023 г.



# Постановка задачи. Цель

## Цель

Цель работы – рассмотрение плоской задачи термоупругости с помощью конечно-элементного алгоритма для нахождения решения на треугольной сетке, а также графическое представление результатов.

## Постановка задачи

Уравнения равновесия и матрица упругих коэффициентов

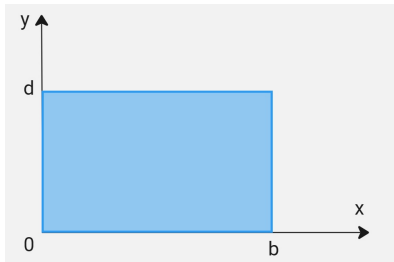
$$\begin{cases} \frac{\partial \sigma_{xx}}{\partial x} + \frac{\partial \sigma_{yx}}{\partial y} + b_x = 0, \\ \frac{\partial \sigma_{xy}}{\partial x} + \frac{\partial \sigma_{yy}}{\partial y} + b_y = 0. \end{cases}$$

$$C = \begin{pmatrix} \lambda + 2\mu & \lambda & 0 \\ \lambda & \lambda + 2\mu & 0 \\ 0 & 0 & \mu \end{pmatrix}, \quad \lambda = \frac{E\nu}{(1+\nu)(1-2\nu)}, \quad \mu = \frac{E}{2(1+\nu)},$$

где  $E$  — модуль Юнга,  $\nu$  — коэффициент Пуассона.

## МКЭ на треугольной равномерной сетке

$$[K]\{U\} = R_U(T),$$
$$\begin{cases} u_x = \sum_{p=1}^N \sum_{m=1}^3 u_{pm}^{(x)} \phi_{pm}, \\ u_y = \sum_{p=1}^N \sum_{m=1}^3 u_{pm}^{(y)} \phi_{pm}. \end{cases}$$



## Тестовый расчет

Пластинка обладает свойствами диоксида урана  $\text{UO}_2$  и ее размеры:

$$b = 8 \text{ мм}, d = 8 \text{ мм}.$$

$$\Delta T(x, y) = -1000 \sqrt{\left(x - \frac{b}{2}\right)^2 + \left(y - \frac{d}{2}\right)^2}$$

Кол-во гран. узлов:	AbsErr <sub>C</sub>	Δ <sub>C</sub>	AbsErr <sub>L<sub>2</sub></sub>	Δ <sub>L<sub>2</sub></sub>
$u = \left(e^{x^2+y^2}; \tanh(xy)\right)$				
16	7.7783e-08	3.6629	3.7796e-08	3.8817
32	2.0339e-08	3.8244	1.0721e-08	3.5255
64	6.3894e-09	3.6139	3.2510e-09	3.6250
$u = \left(y^2 e^x; \cos(xy) + \sin(xy)\right)$				
16	9.9139e-08	3.2458	4.9698e-08	3.7077
32	2.3091e-08	4.2934	1.1785e-08	4.2170
64	6.3894e-09	3.6139	3.2510e-09	3.6320

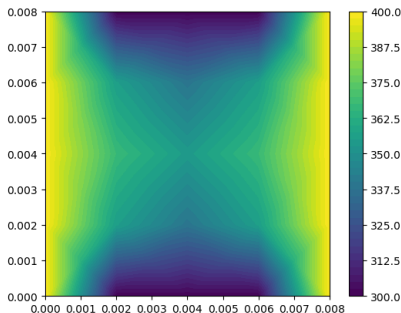
Приведены ошибки в нормах  $\|\cdot\|_C$  и  $\|\cdot\|_{L_2}$ , AbsErr — абсолютная ошибка, Δ — модуль отношения ошибок на двух соседних сетках.

# Линейная (несвязная) термоупругая задача

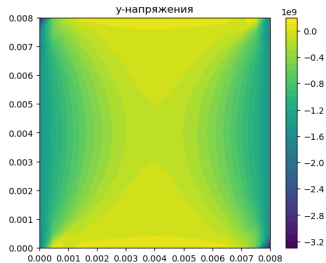
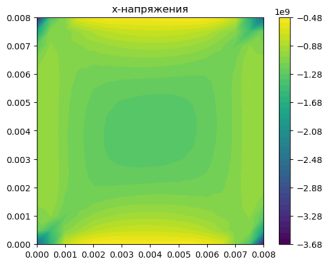
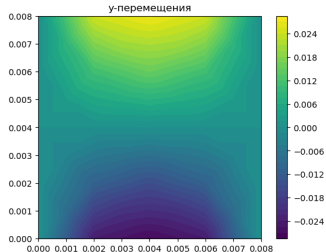
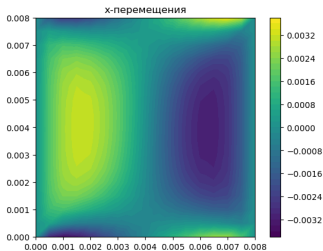
## Уравнение теплопроводности

$$\rho c_{\varepsilon} \frac{\partial T}{\partial t} = \operatorname{div}(\lambda \operatorname{grad} T) + f$$

Рассмотрим стационарный режим и положим  $f = 0$ . Пусть верхняя и нижняя стороны пластинки находятся под температурой  $T_{ref} = 300$  К, а боковые стороны зажаты и их нагревают на  $\Delta T = 100$  К.



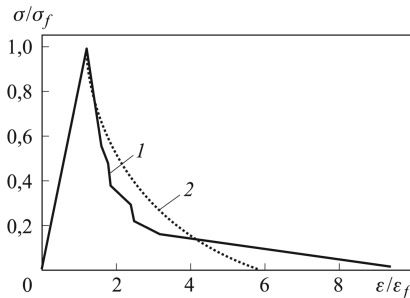
# Линейная (несвязная) термоупругая задача



## Аппроксимация

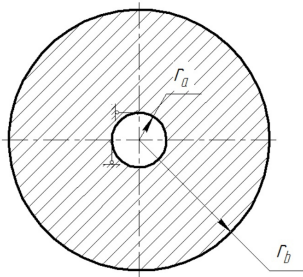
$$\frac{\sigma}{\sigma_f} = A + Be^{-C\frac{\varepsilon}{\varepsilon_f}}, \quad (1)$$

где коэффициенты  $A$ ,  $B$  выводятся экспериментально.  
Для диоксида урана  $\text{UO}_2$ :  $A = -0.024$ ,  $B = 1.69$ ,  $C = 0.5$ .



Экспериментальная (1) и аналитическая (2) кривые растягивающего отклика для керамических материалов ▶ ◀ ≡ ≡ ≡ ≡ ≡ ≡ ≡ ≡ ≡

# Образование радиальных трещин



## Тестовый расчет

$$r_a = 0,8 \text{ мм}, \quad d = 3,8 \text{ мм},$$

$$u_x(0, r_a) = u_y(-r_a, 0) = 0,$$

$$\sigma_{xx} \big|_{x^2+y^2=r_a^2} = 0,$$

$$\sigma_{yy} \big|_{x^2+y^2=r_b^2} = 0, \quad t_f = 1 \text{ с.}$$

## Температура

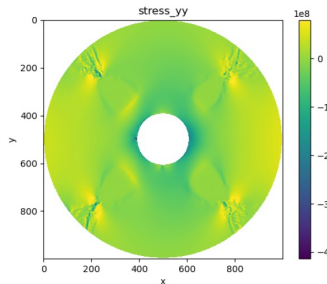
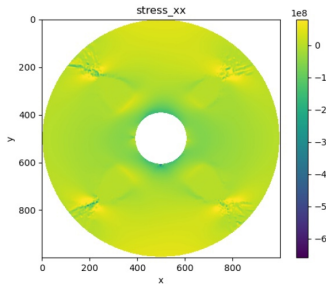
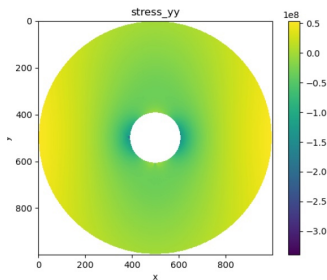
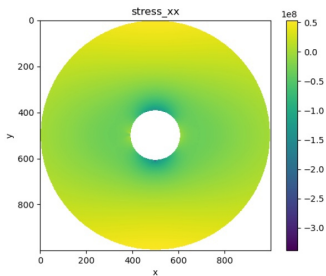
$$T(x, y, t) = \frac{T_1(t) \ln \frac{r_b}{r} - T_2(t) \ln \frac{r_a}{r}}{\ln \frac{r_b}{r_a}},$$

$$T_1(t) = (T_a - T_0) \frac{t}{t_f} + T_0, \quad T_2(t) = (T_b - T_0) \frac{t}{t_f} + T_0,$$

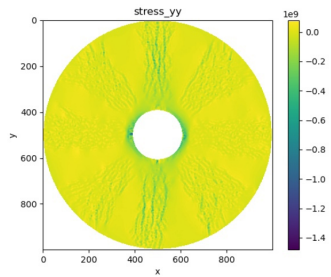
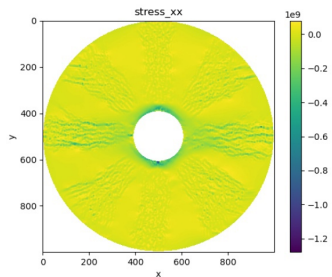
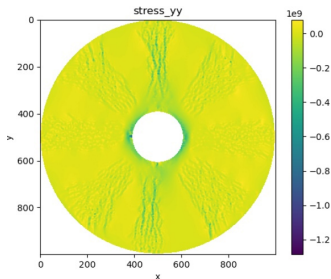
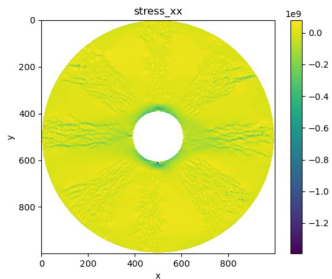
$$T_a = 1700 \text{ К}, \quad T_b = 600 \text{ К}, \quad T_0 = T_{ref}$$



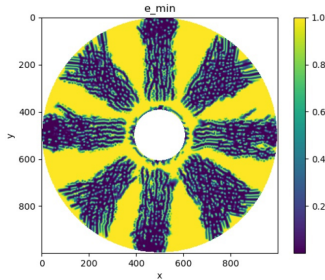
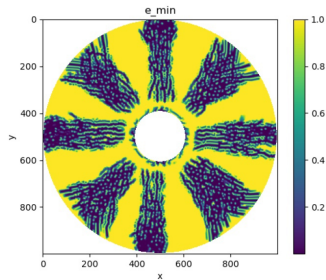
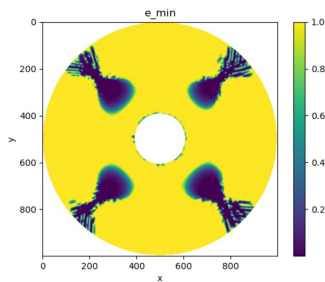
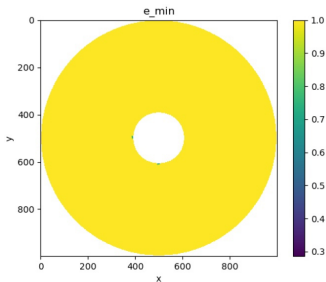
$\sigma_{xx}(x, y), \sigma_{yy}(x, y)$  при  $t = 0.06t_f, t = 0.2t_f$







$\sigma_{xx}(x, y), \sigma_{yy}(x, y)$  при  $t = 0.9t_f, t = t_f$



# Минимум функции памяти $e_{min} = \min(e_1, e_2)$



- 1 Методом конечных элементов на равномерной сетке решена задача термоупругости;
- 2 Найден порядок точности схемы для тестовых задач;
- 3 Проведено математическое моделирование разрушения топливной таблетки в двумерной задаче;
- 4 Проведен графический анализ распространения трещин, основанный на графиках напряжений в различные промежутки времени.

-  *Галанин М.П., Савенков Е.Б.* Методы численного анализа математических моделей. М.: Изд-во МГТУ им. Н.Э. Баумана, 2010. – 592 с.
-  Математическое моделирование разрушения хрупкого материала под действием тепловых нагрузок / М.П. Галанин [и др.] // Препринты ИПМ им. М.В. Келдыша. 2013.№ 100. – 36 с. URL:  
<http://library.keldysh.ru/preprint.asp?id=2013-100>
-  *Фрост Б.* ТВЭЛы ядерных реакторов: пер. с англ. М.: Энергоатомиздат, 1986. – 248 с.
-  *Зарубин В.С., Кувыркин Г.Н.* Математические модели механики и электродинамики сплошной среды. – М.: Изд-во МГТУ им. Н.Э. Баумана, 2008. – 512 с.: ил. (Математическое моделирование в технике и в технологии).

Спасибо за внимание!